

**ПАРАМЕТРЫ ФРОНТА УДАРНОЙ ВОЛНЫ В ВОЗДУХЕ ПРИ ВЗРЫВЕ
ЗАРЯДОВ ИЗ ТЭНА И АЗИДА СВИНЦА РАЗНОЙ ПЛОТНОСТИ**

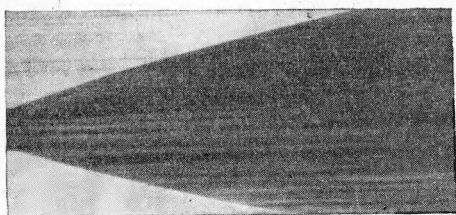
Б. Д. Христофоров
(Москва)

Приводятся экспериментальные данные о параметрах фронта и результаты расчета энергии, потерянной ударной волной из-за диссилиативных процессов при взрыве в воздухе зарядов из тэна с плотностью $\rho = 1.6$ и $0.4 \text{ г}/\text{см}^3$ и азота свинца с $\rho = 1.6$ и $0.85 \text{ г}/\text{см}^3$ в диапазоне от 1 до 30 радиусов заряда.

Работа проводилась для определения влияния свойств ВВ на действие взрыва.

Для удобства изложения введем следующие обозначения: $C \text{ кг}$ — вес заряда, $R/C^{1/3} = R^\circ \text{ м}/\text{кг}^{1/3}$ — приведенное расстояние от центра заряда, $t/C^{1/3} = t^\circ \text{ сек}/\text{кг}^{1/3}$ — приведенное время, $\Theta/C^{1/3} = \Theta^\circ \text{ сек}/\text{кг}^{1/3}$ — время, в течение которого давление в волне спадает в e раз.

1. Опыты проводились с насыпными и прессованными зарядами ВВ.



Фиг. 1

Плотность насыпных зарядов из азота свинца была 1.6 и $0.85 \text{ г}/\text{см}^3$, у тэна $0.4 \text{ г}/\text{см}^3$. ВВ помещалось в сферические оболочки из алюминиевой фольги толщиной 0.15 мм . Применялись насыпные заряды из тэна весом 0.5 , 2.2 и 3.3 г и азота свинца весом 2.2 , 4 и 7 г . Прессованные заряды из тэна при плотности $1.6 \text{ г}/\text{см}^3$ имели вес 0.2 , 0.8 и 2.8 г .

Инициирование осуществлялось взрывом манганиновой проволоки толщиной 0.05 мм , пропущенной сквозь заряд, при прохождении через нее импульса электрического тока.

Величина разбрасываемого слоя ВВ бралась согласно данным К. Е. Губкина [1] для тэна при $\rho = 1.6 \text{ г}/\text{см}^3$ равной 0.2 мм . Величина разбрасываемого слоя у зарядов, заключенных в оболочку, не учитывалась, так как предполагалось, что они детонируют полностью.

Движение фронта ударной волны фотографировалось в параллельном пучке проходящего света шлифро-теневым методом. В диапазоне от 1 до $8 R_0$ применялся ждущий фоторегистр ЖФР [2], а на больших расстояниях от заряда фотографирование производилось камерой СФР 2М.

На фиг. 1 приведена фотография развертки взрыва заряда из тэна, полученная на приборе ЖФР.

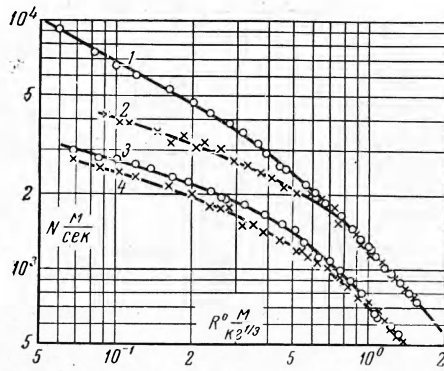
Скорость фронта N ударной волны определялась графическим дифференцированием кривых $R(t)$ для фронта, полученных при обработке шлифро-теневых фотографий.

Максимальное давление ударной волны ΔP , отсчитанное от атмосферного, определялось по скорости фронта N с помощью ударной адиабаты для воздуха Я. Б. Зельдовича и Ю. П. Райзера [3].

Ошибка в определении N не превышала, в среднем, 5% .

Опытные данные и результаты расчетов приводятся на графиках фиг. 2—8. Кривые для тэна с плотностью $\rho = 1.6$ и $0.4 \text{ г}/\text{см}^3$ и азота свинца с $\rho = 1.6$ и $0.85 \text{ г}/\text{см}^3$ отмечены цифрами 1, 2, 3, 4 соответственно.

Для каждого ВВ результаты, полученные при взрыве зарядов с наибольшей плотностью, отмечаются на графиках кружками, а данные для зарядов меньшей плотности — крестиками.



Фиг. 2

2. График на фиг. 2 иллюстрирует зависимость скорости фронта N в $m/сек$ от приведенного расстояния $R^\circ m/kg^{1/2}$ для зарядов из тэнна и азид свинца в логарифмической системе координат в диапазоне $0.053 \leq R^\circ \leq 1.6$.

Экспериментальные данные можно описать эмпирическими формулами

$$\begin{aligned} N &= \frac{1880}{(R^\circ)^{0.56}} \quad 0.053 \leq R^\circ \leq 0.35 \\ \text{тэн } \rho &= 1.6 \text{ г / см}^3 \quad N = \frac{1280}{(R^\circ)^{0.9}} \quad 0.35 \leq R^\circ \leq 0.8 \\ &N = \frac{1230}{(R^\circ)^{1.13}} \quad 0.8 \leq R^\circ \leq 1.6 \end{aligned} \quad (2.1)$$

$$\begin{aligned} \text{тэн } \rho &= 0.4 \text{ г / см}^3 \quad N = \frac{1380}{(R^\circ)^{0.605}} \quad 0.35 \leq R^\circ \leq 0.8 \\ &N = \frac{1230}{(R^\circ)^{1.13}} \quad 0.8 \leq R^\circ \leq 1.6 \end{aligned} \quad (2.2)$$

$$\begin{aligned} \text{азид свинца } \rho &= 1.6 \text{ г / см}^3 \quad N = \frac{900}{(R^\circ)^{0.58}} \quad 0.25 \leq R^\circ \leq 0.7 \\ &N = \frac{740}{(R^\circ)^{1.13}} \quad 0.7 \leq R^\circ \leq 1.6 \end{aligned} \quad (2.3)$$

$$\begin{aligned} \text{азид свинца } \rho &= 0.85 \text{ г / см}^3 \quad N = \frac{810}{(R^\circ)^{0.58}} \quad 0.25 \leq R^\circ \leq 0.8 \\ &N = \frac{740}{(R^\circ)^{1.13}} \quad 0.8 \leq R^\circ \leq 1.6 \end{aligned} \quad (2.4)$$

Интегрируя выражения (2.1) — (2.4), получим формулы для радиуса R° фронта волны в функции приведенного времени t°

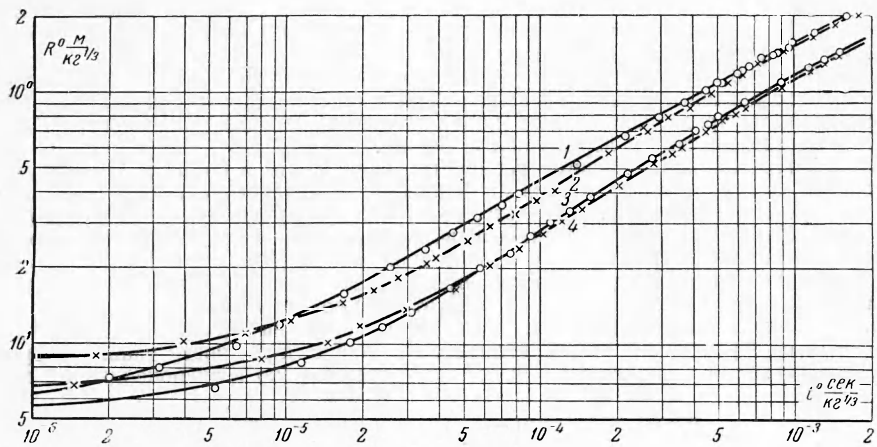
$$\begin{aligned} \text{тэн } \rho &= 1.6 \text{ г / см}^3 \\ R^\circ &= 0.053 (1 + 2.88 \cdot 10^5 t^\circ)^{0.64} \quad 0.053 \leq R^\circ \leq 0.35 \\ R^\circ &= 0.35 [(t^\circ - 6.25 \cdot 10^{-5}) 17800 + 1]^{0.526} \quad 0.35 \leq R^\circ \leq 0.8 \\ R^\circ &= 0.8 [(t^\circ - 2.81 \cdot 10^{-4}) 4220 + 1]^{0.47} \quad 0.8 \leq R^\circ \leq 1.6 \end{aligned} \quad (2.5)$$

$$\begin{aligned} \text{тэн } \rho &= 0.4 \text{ г / см}^3 \\ R^\circ &= 0.084 (1 + 0.694 \cdot 10^5)^{0.737} \quad 0.084 \leq R^\circ \leq 0.35 \\ R^\circ &= 0.35 [1 + 12000 (t^\circ - 8 \cdot 10^{-5})]^{0.622} \quad 0.35 \leq R^\circ \leq 0.8 \\ R^\circ &= 0.8 [1 + 4250 (t^\circ - 31.1 \cdot 10^{-5})]^{0.47} \quad 0.8 \leq R^\circ \leq 1.6 \end{aligned} \quad (2.6)$$

$$\begin{aligned} \text{азид свинца } \rho &= 1.6 \text{ г / см}^3 \\ R^\circ &= 0.053 (1 + 81000 t^\circ)^{0.77} \quad 0.053 \leq R^\circ \leq 0.25 \\ R^\circ &= 0.25 [1 + 12700 (t^\circ - 7.7 \cdot 10^{-5})]^{0.633} \quad 0.25 \leq R^\circ \leq 0.7 \\ R^\circ &= 0.7 [1 + 3380 (t^\circ - 4 \cdot 10^{-4})]^{0.47} \quad 0.7 \leq R^\circ \leq 1.6 \end{aligned} \quad (2.7)$$

$$\begin{aligned} \text{азид свинца } \rho &= 0.85 \text{ г / см}^3 \\ R^\circ &= 0.0655 (1 + 55500 t^\circ)^{0.77} \quad 0.0650 \leq R^\circ \leq 0.25 \\ R^\circ &= 0.25 [1 + 11400 (t^\circ - 8.5 \cdot 10^{-5})]^{0.633} \quad 0.25 \leq R^\circ \leq 0.8 \\ R^\circ &= 0.8 [1 + 2550 (t^\circ - 5.55 \cdot 10^{-4})]^{0.47} \quad 0.8 \leq R^\circ \leq 1.6 \end{aligned} \quad (2.8)$$

На фиг. 3 на графике нанесены кривые $R^0(t^0)$ по формулам (2.5)–(2.8). Там же приведены экспериментальные точки, снятые непосредственно со спирально-теневых фотографий ударной волны. Наблюдаются хорошее согласие экспериментальных данных с результатами расчета.



Фиг. 3

3. Рассчитанные по скорости фронта и уравнению состояния воздуха Зельдовича и Райзера [3], значения максимального давления ΔP в ударной волне для всех четырех исследуемых ВВ представлены на графике фиг. 4 в зависимости от приведенного расстояния R^0 . Приводим эмпирические формулы, которыми можно описать кривые $\Delta P(R^0)$ на фиг. 4.

тэн $\rho = 1.6 \text{ г} / \text{см}^3$

$$\Delta P = \frac{38}{(R^0)^{1.14}} \quad 0.053 \leq R^0 \leq 0.35$$

$$\Delta P = \frac{17.8}{(R^0)^{1.81}} \quad 0.35 \leq R^0 \leq 0.8$$

$$\Delta P = \frac{14.2}{(R^0)^{2.55}} \quad 0.8 \leq R^0 \leq 1.6$$

$$\Delta P = \frac{34}{(R^0)^{0.74}} \quad 0.084 \leq R^0 \leq 0.35$$

тэн $\rho = 0.4 \text{ г} / \text{см}^3$

$$\Delta P = \frac{21}{(R^0)^{1.2}} \quad 0.35 \leq R^0 \leq 0.8$$

$$\Delta P = \frac{14.2}{(R^0)^{2.55}} \quad 0.8 \leq R^0 \leq 1.6$$

$$\Delta P = \frac{20}{(R^0)^{0.61}} \quad 0.053 \leq R^0 \leq 0.25$$

азид свинца $\rho = 1.6 \text{ г} / \text{см}^3$

$$\Delta P = \frac{8}{(R^0)^{1.17}} \quad 0.25 \leq R^0 < 0.7$$

$$\Delta P = \frac{4.5}{(R^0)^{2.55}} \quad 0.7 \leq R^0 \leq 1.6$$

$$\Delta P = \frac{14.7}{(R^0)^{0.66}} \quad 0.0655 \leq R^0 \leq 0.25$$

азид свинца $\rho = 0.4 \text{ г} / \text{см}^3$

$$\Delta P = \frac{5.4}{(R^0)^{1.22}} \quad 0.25 \leq R^0 \leq 0.7$$

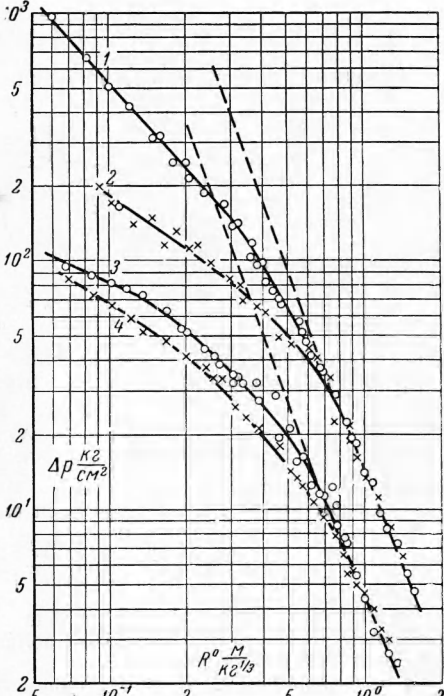
$$\Delta P = \frac{4.5}{(R^0)^{2.55}} \quad 0.8 \leq R^0 \leq 1.6$$

(3.1)

(3.2)

(3.3)

(3.4)



Фиг. 4

Штриховые кривые проведены в соответствии с формулой М. А. Садовского [4], пересчитанной для тэна и азида свинца в соответствии с принципом энергетического подобия. Энергия взрыва тэна при этом принималась равной $Q = 1400 \text{ ккал/кг}$, а азида свинца $Q = 365 \text{ ккал/кг}$.

В диапазоне $0.8 \leq R^\circ \leq 1.6$ наши данные для всех типов ВВ можно описать формулой М. А. Садовского. В той области имеет место энергетическое подобие и давление во фронте волны не зависит от свойств ВВ.

При $R^\circ < 0.8$ имеет место лишь геометрическое подобие. Для каждого типа ВВ максимальное давление в ударной волне на каждом приведенном расстоянии R° не зависит от веса заряда. Однако оно понижается при уменьшении плотности ВВ и при переходе от взрыва тэна к взрыву азида свинца.

Таким образом, для описания распространения волны в ближней к заряду зоне необходимо ввести кроме параметра R° еще один, характеризующий условия выделения энергии при взрыве ВВ. В качестве такого можно взять давление или скорость детонации. Или же связанные с ними давление или скорость на границе заряд-воздух.

При переходе от заряда тэна с $\rho = 1.6 \text{ г/см}^3$ к заряду с $\rho = 0.4 \text{ г/см}^3$ скорость детонации меняется от 9500 до 4400 м/сек, при этом давление во фронте ударной волны на расстоянии $1R_0$ от заряда уменьшается от 1060 до 200 атм.

4. На больших расстояниях от места взрыва форма ударной волны близка к треугольной [3], в то же время, вблизи от заряда в окрестности ударного фронта затухание давления со временем в точке измерения близко к экспоненциальному

$$\Delta P(t) = \Delta P \exp\left(-\frac{t^\circ}{\theta^\circ}\right) \quad (\theta^\circ = -\frac{\Delta P}{dp/dt^\circ})$$

При этом θ° можно определить, решая уравнения гидродинамики (4.3) совместно с условиями на фронте (4.2) при помощи ударной адиабаты воздуха Я. Б. Зельдовича и Ю. П. Райзера [3]

$$\frac{1}{a^2} \frac{\partial \Delta P}{\partial t} + \frac{2\rho u}{R} + \rho \frac{\partial u}{\partial R} + \frac{u}{a^2} \frac{\partial \Delta P}{\partial R} = 0 \quad (4.1)$$

$$\rho \frac{\partial u}{\partial t} + \rho u \frac{\partial u}{\partial R} + \frac{\partial \Delta P}{\partial R} = 0$$

$$\begin{aligned} \frac{du}{dR} &= \frac{\partial u}{\partial R} + \frac{1}{N} \frac{\partial u}{\partial t} \\ \frac{d\Delta P}{dR} &= \frac{\partial \Delta P}{\partial R} + \frac{1}{N} \frac{\partial \Delta P}{\partial t} \end{aligned} \quad (4.2)$$

Выражение для величины θ° в диапазоне $0.053 \leq R^\circ \leq 1.6$ имеет вид

$$\theta^\circ = \frac{\left[1 - \left(\frac{N-u}{a} \right)^2 \right] R^\circ}{\alpha N \left(1 + \frac{N-u}{a^2} u + \frac{1}{1-\frac{u}{N}} - \frac{2}{\alpha} - \frac{\Delta P}{N} \frac{dN}{d\Delta P} \frac{1}{1-\frac{u}{N}} \right)} \quad (4.3)$$

Здесь значение

$$\alpha = -\frac{d\Delta P}{dR} \frac{R}{\Delta P}$$

определялось графическим дифференцированием кривых на фиг. 4.

Графики зависимости $\theta^\circ = f(R^\circ)$ представлены на фиг. 5. На фиг. 6 приведены кривые

$$\left| \frac{\partial \Delta P}{\partial t^\circ} \right|_{t^\circ=0} = \frac{\Delta P}{\theta^\circ} = f(R^\circ) \left[\frac{\text{атм}}{\text{сек/кг}^{1/3}} \right]$$

При этом на фиг. 6 используются следующие обозначения

$$\zeta = \lg \left| \frac{\partial \Delta P}{\partial t^\circ} \right|_{t^\circ=0}, \quad \xi = \lg R^\circ$$

В диапазоне $R^\circ \geq 0.8$, т. е. в области, где сохраняется энергетическое подобие, спад давления за фронтом ударной волны на каждом расстоянии от заряда зависит лишь от энергии взрыва.

В области $R^\circ \leq 0.8$ с уменьшением скорости детонации ВВ, при той же энергии взрыва, постоянная времени волны увеличивается. На расстоянии $R^\circ = 0.1$, при переходе от взрыва тэна с $\rho = 1.6 \text{ г/см}^3$ к зарядам с $\rho = 0.4 \text{ г/см}^3$ θ° возрастает от $1.1 \cdot 10^{-6}$ до $4.5 \cdot 10^{-5} \text{ сек/кг}^{1/3}$.

Кривые на графиках 5—6 можно описать следующими эмпирическими формулами:

$$\text{тэн } \rho = 1.6 \text{ г / см}^3$$

$$\theta^\circ = 7.1 \cdot 10^{-5} (R^\circ)^{1.81} \quad 0.053 \leq R^\circ \leq 1 \quad (4.4)$$

$$\theta^\circ = 7.8 \cdot 10^{-5} (R^\circ)^{2.57} \quad 1 \leq R^\circ \leq 1.6$$

$$\text{тэн } \rho = 0.4 \text{ г / см}^3$$

$$\theta^\circ = 14.2 \cdot 10^{-5} (R^\circ)^{1.51} \quad 0.084 \leq R^\circ \leq 0.4$$

$$\theta^\circ = 7 \cdot 10^{-5} (R^\circ)^{0.730} \quad 0.4 \leq R^\circ \leq 1 \quad (4.5)$$

$$\theta^\circ = 7.8 \cdot 10^{-5} (R^\circ)^{2.57} \quad 1 \leq R^\circ \leq 1.6$$

$$\text{азид свинца } \rho = 1.6 \text{ г / см}^3$$

$$\theta^\circ = 1.25 \cdot 10^{-5} (R^\circ)^{0.90} \quad 0.053 \leq R^\circ \leq 1 \quad (4.6)$$

$$\theta^\circ = 1.58 \cdot 10^{-5} (R^\circ)^{2.43} \quad 1.0 \leq R^\circ \leq 1.8$$

$$\text{азид свинца } \rho = 0.85 \text{ г / см}^3$$

$$\theta^\circ = 1.8 \cdot 10^{-5} (R^\circ)^{0.95} \quad 0.0655 \leq R^\circ \leq 1 \quad (4.7)$$

$$\theta^\circ = 1.58 \cdot 10^{-5} (R^\circ)^{2.43} \quad 1 \leq R^\circ \leq 1.6$$

$$\text{тэн } \rho = 1.6 \text{ г / см}^3$$

$$\frac{\partial \Delta P}{\partial t^\circ} = -\frac{6.1 \cdot 10^{-5}}{(R^\circ)^{2.86}} \quad 0.053 \leq R^\circ \leq 0.4$$

$$\frac{\partial \Delta P}{\partial t^\circ} = -\frac{2.2 \cdot 10^{-5}}{(R^\circ)^{3.89}} \quad 0.4 \leq R^\circ \leq 0.8 \quad (4.8)$$

$$\frac{\partial \Delta P}{\partial t^\circ} = -\frac{1.8 \cdot 10^{-5}}{(R^\circ)^{5.4}} \quad 0.8 \leq R^\circ \leq 1.6$$

$$\text{тэн } \rho = 0.4 \text{ г / см}^3$$

$$\frac{\partial \Delta P}{\partial t^\circ} = -\frac{2.45 \cdot 10^{-5}}{(R^\circ)^{2.23}} \quad 0.084 \leq R^\circ \leq 0.8$$

$$\frac{\partial \Delta P}{\partial t^\circ} = -\frac{1.8 \cdot 10^{-5}}{(R^\circ)^{5.4}} \quad 0.8 \leq R^\circ \leq 1.6 \quad (4.9)$$

$$\text{азид свинца } \rho = 1.6 \text{ г / см}^3$$

$$\frac{\partial \Delta P}{\partial t^\circ} = -\frac{1.24 \cdot 10^{-5}}{(R^\circ)^{1.6}} \quad 0.053 \leq R^\circ \leq 0.35$$

$$\frac{\partial \Delta P}{\partial t^\circ} = -\frac{0.57 \cdot 10^{-5}}{(R^\circ)^{2.34}} \quad 0.35 \leq R^\circ \leq 0.8 \quad (4.10)$$

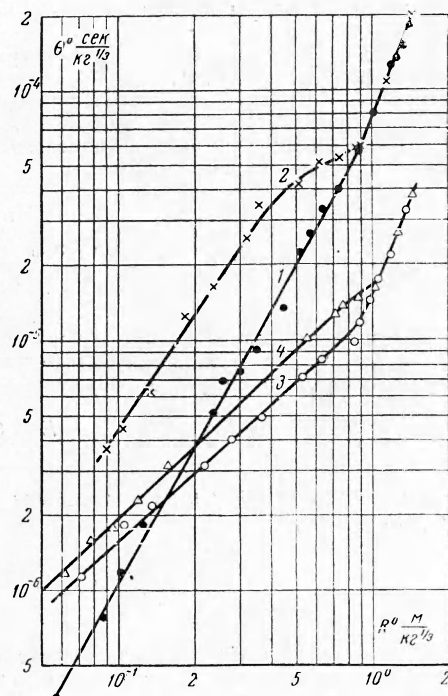
$$\frac{\partial \Delta P}{\partial t^\circ} = -\frac{0.285 \cdot 10^{-5}}{(R^\circ)^5} \quad 0.8 \leq R^\circ \leq 1.6$$

$$\text{азид свинца } \rho = 0.85 \text{ г / см}^3$$

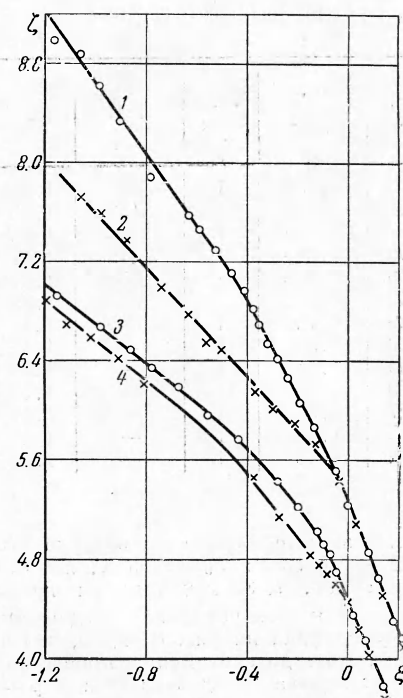
$$\frac{\partial \Delta P}{\partial t^\circ} = -\frac{0.79 \cdot 10^{-5}}{(R^\circ)^{1.65}} \quad 0.066 \leq R^\circ \leq 0.35$$

$$\frac{\partial \Delta P}{\partial t^\circ} = -\frac{0.29 \cdot 10^{-5}}{(R^\circ)^{2.54}} \quad 0.35 \leq R^\circ \leq 0.8 \quad (4.11)$$

$$\frac{\partial \Delta P}{\partial t^\circ} = -\frac{0.285 \cdot 10^{-5}}{(R^\circ)^5} \quad 0.8 \leq R^\circ \leq 1.6$$



Фиг. 5



Фиг. 6

5. При распространении ударной волны часть ее энергии, в результате диссипативных процессов на фронте, переходит в тепловую энергию E_δ сильно нагретого воздуха при атмосферном давлении P_0 , которая уже не может совершать механической работы.

Пусть вначале воздух имеет параметры P_0, ρ_0, T_0, μ_0 , а после прохождения по нему ударной волны P_0, ρ, T, μ . При переходе из начального в конечное состояние, при постоянном давлении P_0 , единица массы воздуха приобретает добавочное количество тепла, равное разности энталпий $h - h_0$ этих состояний.

Отсюда можно подсчитать энергию E_δ , потерянную волной в результате диссипативных процессов по формуле

$$\frac{E_\delta}{C} = 4\pi\rho_0 \int_{R_1^\circ}^{R^\circ} \Delta h(R^\circ)^2 dR^\circ \quad (5.1)$$

Предполагая, что вся энергия взрыва Q переходит в ударную волну и тратится при ее распространении в результате диссипативных процессов, можно определить энергию ударной волны E по формуле

$$E = Q - E_\delta \quad (5.2)$$

При больших давлениях расширение воздуха за фронтом описывается адиабатой с переменным γ

$$\frac{P}{\rho^\gamma} = \text{const}, \quad 1.2 \leq \gamma \leq 1.4 \quad (5.3)$$

Для определения h задавалось состояние на фронте ударной волны, от которого спускались до давления P_0 по участкам адиабаты с постоянным γ , значение которого определялось на левом конце отрезка. На каждом отрезке γ изменялось не более, чем на 4%.

В расчетах были использованы таблицы термодинамических функций воздуха [6].

В табл. 1 приведены данные о параметрах воздуха после прохождения ударной волны при взрыве тэн плотностью 1.6 г/см³.

Таблица 1

ΔP , атм	R° , $\frac{\text{м}}{\text{кг}}^{1/3}$	P_0 , атм	$T^\circ\text{K}$	γ	μ , $\frac{\text{г}}{\text{гмоль}}$	Δh , $\frac{\text{кал}}{\text{г}}$	$\frac{E_\delta}{C}$, $\frac{\text{ккал}}{\text{кг}}$	$\frac{E}{C}$, $\frac{\text{ккал}}{\text{кг}}$	ρ/ρ_0
1000	0.056	1	5100	1.21	24	3000	1	1399	0.046
400	0.126	1	3450	1.23	27	1282	20	1380	0.077
200	0.234	1	2120	1.33	29	532	60	1340	0.134
99	0.389	1	1310	1.37	29	268	145	1255	0.217
69	0.478	1	1054	1.37	29	197	200	1200	0.23
49	0.572	1	840	1.39	29	137	264	1136	0.342
29	0.74	1	645	1.4	29	86.5	382	1018	0.444
19	0.89	1	—	1.4	29	55.5	490	910	0.553
14	1.01	1	—	1.4	29	39.5	566	834	0.632
9	1.19	1	—	1.4	29	24.3	665	735	0.74
7	1.31	1	—	1.4	29	18	728	672	0.794
5	1.49	1	—	1.4	29	11	810	590	0.862
4	1.63	1	—	1.4	29	7.8	860	540	0.818

Начальные параметры воздуха были приняты следующими: $P_0 = 1$ атм., $\rho_0 = 1.22 \cdot 10^{-3}$ г/см³; $T_0 = 209^\circ\text{K}$, $h_0 = 58.5$ ккал/г, $\mu_0 = 29$ г/гмоль.

На фиг. 7, 8 представлены графики зависимости $\Delta h(R^\circ)$, $E_\delta / c(R^\circ)$ соответственно для всех четырех исследованных ВВ.

Из графика на фиг. 8 видно, что на расстоянии $R^\circ = 1.4$ ударная волна теряет в результате диссипативных процессов соответственно 55 и 48% энергии при переходе от взрыва зарядов из тэна с $\rho = 1.6$ г/см³ к азиду свинца при $\rho = 0.85$ г/см³.

Следовательно, при уменьшении скорости детонации ВВ энергия, уносимая волной, увеличивается.

Приращение энталпии Δh единицы массы воздуха после прохождения ударной волны, в зависимости от расстояния до центра взрыва, описывается следующими эмпирическими формулами

$$\text{тэн } \rho = 1.6 \text{ г / см}^3$$

$$\Delta h = \frac{72}{(R^\circ)^{1.39}} \quad 0.053 \leq R^\circ \leq 0.4 \quad (5.4)$$

$$\Delta h = \frac{52}{(R^\circ)^{1.77}} \quad 0.4 \leq R^\circ \leq 0.8$$

$$\Delta h = \frac{42}{(R^\circ)^{3.34}} \quad 0.8 \leq R^\circ \leq 1.6$$

$$\text{тэн } \rho = 0.4 \text{ г / см}^3$$

$$\Delta h = \frac{92}{(R^\circ)^{0.72}} \quad 0.084 \leq R^\circ \leq 0.4 \quad (5.5)$$

$$\Delta h = \frac{54}{(R^\circ)^{1.38}} \quad 0.4 \leq R^\circ \leq 0.8$$

$$\Delta h = \frac{42}{(R^\circ)^{3.34}} \quad 0.8 \leq R^\circ \leq 1.6$$

$$\text{азид свинца } \rho = 1.6 \text{ г / см}^3$$

$$\Delta h = \frac{48}{(R^\circ)^{0.67}} \quad 0.053 \leq R^\circ \leq 0.35 \quad (5.6)$$

$$\Delta h = \frac{18.5}{(R^\circ)^{1.61}} \quad 0.35 \leq R^\circ \leq 0.7$$

$$\Delta h = \frac{9.7}{(R^\circ)^{3.14}} \quad 0.7 \leq R^\circ \leq 1.6$$

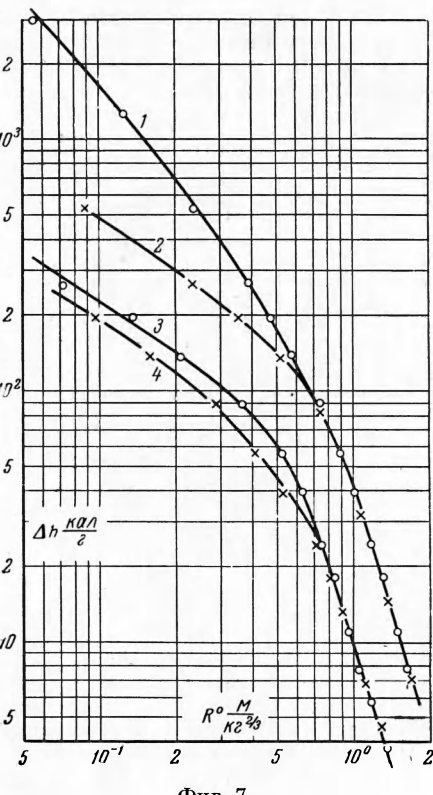
$$\text{азид свинца } \rho = 0.85 \text{ г / см}^3$$

$$\Delta h = \frac{42}{(R^\circ)^{0.65}} \quad 0.066 \leq R^\circ \leq 0.35 \quad (5.7)$$

$$\Delta h = \frac{17}{(R^\circ)^{1.3}} \quad 0.35 \leq R^\circ \leq 0.7$$

$$\Delta h = \frac{9.7}{(R^\circ)^{3.14}} \quad 0.7 \leq R^\circ \leq 1.6$$

6. Из приведенных экспериментальных данных следует, что в области $0.053 \leq R^\circ \leq 0.8$ обычное энергетическое подобие не имеет места. Чем меньше скорость детонации и соответственно начальное давление на границе заряд — воздух, тем сильнее отступления от закона энергетического подобия.



Фиг. 7

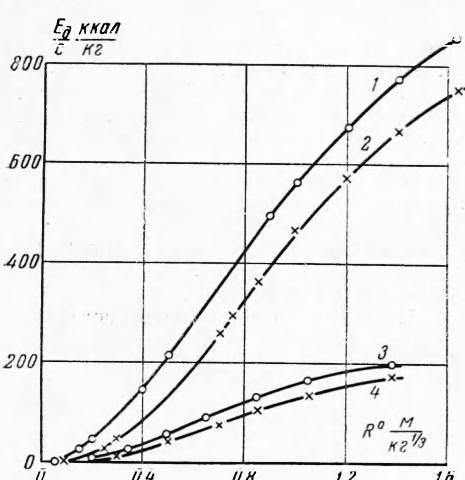
В то же время, везде наблюдается геометрическое подобие при одинаковых параметрах детонации.

Отсюда следует, что при моделировании явления взрыва в воздухе вблизи от заряда необходимо, кроме энергии ВВ, учитывать еще один параметр — скорость детонации или начальное давление на границе заряд — воздух.

Указанное обстоятельство, видимо, связано с тем, что энергия, выделяющаяся в результате детонации ВВ в ближней зоне, распределяется между сжатым ударной волной воздухом и продуктами взрыва. Соотношение между количеством этой энергии зависит от параметров детонации заряда.

При уменьшении скорости детонации ВВ больше энергии остается в продуктах взрыва и меньше уносится вначале ударной волной, однако, по мере распространения ударной волны продукты за фронтом, имеющие поэтому возможность отдать ей свою избыточную энергию.

ре распространения ударной волны продукты, которые двигаются почти вплотную за фронтом, имеют поэтому возможность отдать ей свою избыточную энергию.



Фиг. 8

На расстоянии $R^o \geq 0.8$ продукты отстают от фронта и не влияют на его дальнейшее движение. При этом энергетическое подобие начинает выполняться.

Оценим энергию продуктов взрыва тэна при их расширении до некоторого расстояния R^o в зависимости от плотности заряда. Предположим, что продукты расширяются в соответствии с политропическим законом от начальных параметров P_1, ρ_1 с показателем политропы $n = 3$ до некоторого промежуточного состояния P_x, ρ_x . Дальнейшее расширение происходит при показателе степени политропы $\gamma = 1.25$.

Таблица 2

$\rho_0, \text{г/см}^3$	$P_1 10^{-8}, \text{аттм}$	$D, \text{км/сек}$	$R^o, \text{м/кг}^{1/3}$	$Y, \text{кал/г}$
1.5	232	7.6	0.1	462
1	103	5.95	0.1	730
0.4	28	4.41	0.1	930

Взаимодействие с ударной волной и волновые процессы внутри продуктов не будем рассматривать.

Пользуясь условиями

$$\frac{P_1}{\rho_1^n} = \frac{P_x}{\rho_x^n}, \quad \frac{P_x}{\rho_x^\gamma} = \frac{P}{\rho^\gamma}$$

получим

$$Y = \frac{P}{\rho(\gamma-1)} - \frac{P_1 \rho^{\gamma-1}}{\rho_1^3 (\gamma-1) \rho_x^{\gamma-1}} \quad (6.1)$$

Далее для продуктов взрыва используем приближенное соотношение

$$\frac{P_x}{\rho_x(\gamma-1)} = Q - \frac{D^2}{2(n^2-1)} \quad (6.2)$$

полученное в работе [7] при указанных выше предположениях. Подставляя (6.2) в (6.1), получим

$$Y = \left(\frac{P_1}{\rho_1^3(\gamma-1)} \right)^{\frac{\gamma-1}{2}} \rho^{\gamma-1} \left(Q - \frac{D^2}{2(n^2-1)} \right)^{\frac{3-\gamma}{2}} \quad (6.3)$$

Результаты расчета по формуле (6.3) приведены в табл. 2 для 1 г ВВ. Были использованы данные о параметрах детонации тэна [7].

Из табл. 2 следует, что при снижении плотности ВВ энергия продуктов взрыва на заданном расстоянии от центра заряда возрастает. Предполагая, что энергия взрыва Q в ближней зоне распределяется между ударной волной и продуктами, можно сделать заключение, что энергия ударной волны при этом уменьшится, что соответствует результатам эксперимента.

Автор благодарит Э. А. Широкову за помощь в работе, В. Н. Костюченко и В. В. Адушкина за ценное обсуждение результатов.

Поступила 28 VIII 1961

ЛИТЕРАТУРА

- Губкин К. Е. Исследование отраженных волн с помощью полутеневых фотографий. Сб. физика взрыва, 1955, № 3, Изд-во АН СССР.
- Дубовик А. С., Чурбаков А. И. Высокоскоростной фоторегистр непрерывного действия ЖФР. Оптикомеханическая промышленность, 1959, № 1.
- Зельдович Я. Б., Райзнер Ю. П. Ударные волны большой амплитуды в газах. УФН, 1957, т. XIII, вып. 3.
- Садовский М. А. Механическое действие воздушных ударных волн взрыва по данным экспериментальных исследований. Сб. физика взрыва, Изд-во АН СССР, 1952, № 1.
- Губкин К. Е. Распространение разрывов в звуковых волнах. ПММ, 1958, т. XXII, вып. 4.
- Термодинамические функции воздуха. Изд-во АН СССР, 1960.
- Зельдович Я. Б., Компанеец А. С. Теория детонации. Гостехиздат, 1955.